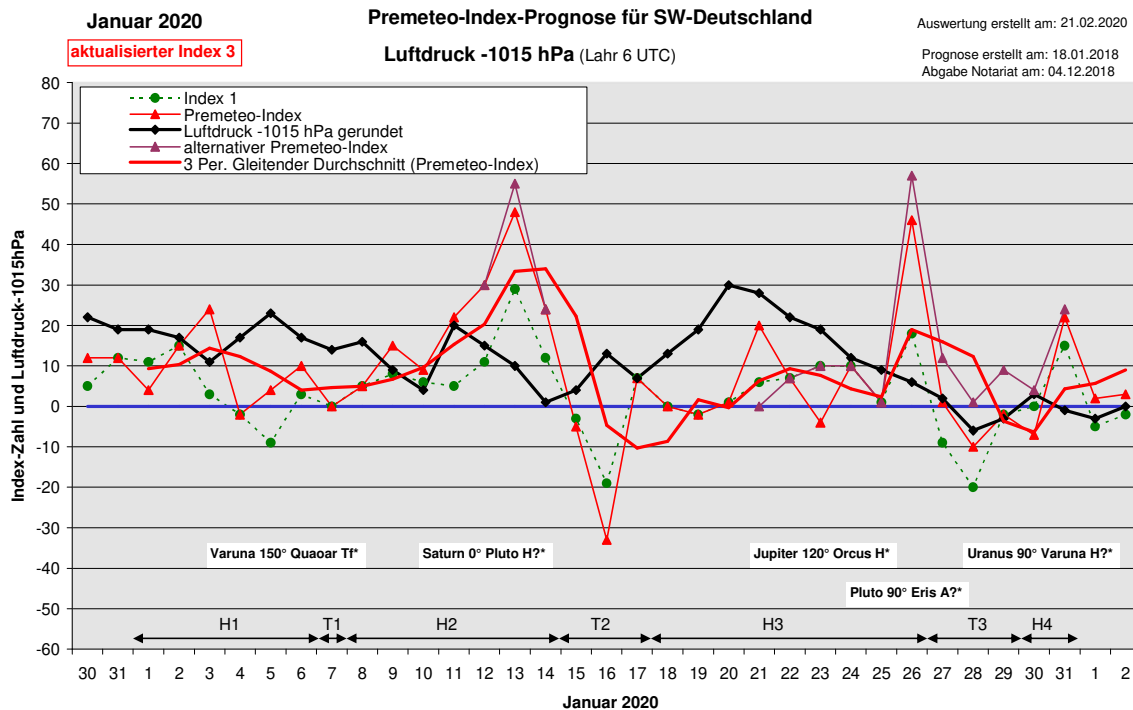


Wetterlagenverlauf Januar 2020 im Vergleich zur Premeteo-Indexprognose für Südwest-Deutschland

(Im Diagramm sind über der Datumsachse die real eingetreten Hoch- und Tiefdruckphasen durch Doppelpfeile eingetragen. Ausschlaggebend für die Evaluation ist der tägliche Premeteo-Index, in der dünneren, roten Linie mit Dreieckspunkten dargestellt. Ein negativer Premeteo-Index zeigt die Wahrscheinlichkeit für eine zyklonale Tiefdruckströmung, ein positiver Premeteo-Index die Wahrscheinlichkeit für eine antizyklonale Hochdruckströmung an.

Die Wetterlagenbeschreibungen wurden anhand der Berliner Wetterkarten erstellt. Ausschlaggebend ist die Europa-Bodenkarte um 0 UTC, die feiner skalierte 12 UTC-Karte von Mitteleuropa wird nur bei einem Wetterlagenwechsel für die Einordnung des Tages hinzugezogen. Am Ende des Dokuments befinden sich die Tabellen und Konstellationen, die dem Diagramm zugrunde liegen.)



Zusammenfassung: Der Januar 2020 war ein erfreulicher Prognosemonat. Die Impulskehrungen, die im November und Dezember 2019 ein spiegelverkehrtes Verhältnis von Luftdruckverlauf und Verlauf des Premeteo-Index erzeugt hatten, traten nicht mehr auf. Entsprechend gut fielen daher die statistischen Auswertungen aus. Es gab nur sechs Fehlprognosestage bezüglich der Wetterlage und des Indexvorzeichens, und sie traten an allen sechs Tagen nur bei flachem Index auf. Der mittlere Premeteo-Index pro Tag war in Hochdruckwetterlagen positiv (+13,13) und in Tiefdruckwetterlagen negativ (-5,25), so wie es die Hypothese verlangt.

Die beiden wärmsten Tage in Lahr mit einer Tagesmitteltemperatur von 11,8°C und 10,9°C am 9. und 15. Januar gingen im ersten Fall einher mit Jupiter 0° Kn2 H*W*, Sonne 72° Apogäum W / 60° Neptun W, Venus 30° Saturn W sowie im zweiten Fall mit 150°-Tiefdruck-Symmetrien von Venus mit dem GSZ, Quaoar, Uranus und Varuna.

Die kältesten Tage waren der 1., der 22. und der 23. Januar mit Tagesmitteltemperaturen in Lahr von -2°C, -2°C und -3,5°C. Am 1. Januar traten die H*-Aspekte Vesta 45° Apogäum Hf* / 120° Orcus H* sowie Pallas 120° Eris H* auf. Am 22./23. waren die H-Aspekte Mars 45° Haumea H und Sonne 60° Chiron H / 120° Varuna H / 180° Orcus A beteiligt.

Besonders hoher Luftdruck trat mit 1037,6 hPa am 5. in Lahr um 6 UTC auf, ein Tag vor dem Exaktwerden der Konjunktion Jupiters mit dem absteigenden Mondknoten, aber begleitet von dem Aspekt Varuna 150° Quaoar Tf*, wobei Varuna sich gleichzeitig im fast-exakten, unbekanntem Aspektbereich von 144° GaZ ?* und 60° GSZ ?* befand.

Noch mal sehr hohe Werte erreichte der Luftdruck in der Zeit vom 19. bis zum 23. Januar. Es wurden Luftdruckwerte zwischen 1045,2 hPa am 20. und 1033,6 hPa am 23. erreicht. In diesem Zeitraum traten insgesamt sieben H- und zwei H*-Aspekte, aber nur drei T-Aspekte auf.

Die tiefsten Luftdruckwerte um 6 UTC in Lahr wurden am 14. und am 28. Januar mit 1016,3 hPa und 1008,8 hPa verzeichnet. Im ersten Fall fand dies während der 4er-Konjunktion von Sonne, Saturn, Ceres und Pluto statt, obwohl deren Einzelaspekte H-Aspekte waren. Im zweiten Fall vollzog sich das recht eindeutig mit der Konjunktion Pallas 0° Quaoar Tf* und dem Aspekt Mars 90° Neptun Tf.

Beschreibung der einzelnen Wetterphasen:

Hochdruckphase 1: Der Januar 2020 begann mit Hoch Xia, dessen Kern um 0 UTC über Südostdeutschland lag. (In der Prognose war der Premeteo-Index mit -2 angegeben. Dies war nicht korrekt, da bei Vesta 45° Apogäum Hf* nur +5 statt +11 Punkte angerechnet worden waren. Der entsprechend der Prognoseregulierung korrigierte Wert lag bei +4, und die korrigierten Werte wurden in der Tabelle rot hinterlegt.) Der Kern von Hoch Xia lag vom 2. bis zum 4. über dem Balkan. Am 4. fand bei einem Premeteo-Index von -2 ein Wechsel zu Hoch Almar mit Kern über dem Ostatlantik statt, dabei dehnte sich um 0 UTC Tief Fabio über Skandinavien vorübergehend bis über Deutschland aus. Der Kern von Hoch Almar hatte am 5. Westfrankreich und am 6. die Ostalpen erreicht. Der Premeteo-Index summierte über die 6-tägige Hochdruckphase auf +55.

Tiefdruckphase 1: Am 7. setzte sich Tief Amrei mit Kern über Jan Mayen über ganz Deutschland durch. Der Premeteo-Index hatte den Wert 0.

Hochdruckphase 2: Hoch Bernd mit Kernen über Nordwestspanien und Süddeutschland übernahm am 8. die Regie und lag am 9. mit seinen Kernen über den Ostalpen. Am 10. um 0 UTC dehnte sich Tiefdrucksystem Damira-Clara mit Kernen über Nordfrankreich, Nordsee und Dänemark vorübergehend über ganz Deutschland aus. Um 12 UTC krümmte jedoch Hoch Christian über Frankreich schon leicht die Isobaren zu seinem Kern und übernahm am 11. die Strömung. Am 12. hatte sich das Hoch schon zu den Ostalpen verlagert, erreichte am 13. den Balkan und bewegte sich zum 14. noch mal zurück zu den Ostalpen. Der Premeteo-Index summierte über die 7-tägige Hochdruckphase auf +153.

Tiefdruckphase 2: Tief Fenja I und II mit Kernen südlich von Island und über Nordskandinavien dehnte - verstärkt mit Tief Gerlinde vor Südnorwegen - am 15. für einen Tag seine Isobaren bis nach Südwestdeutschland aus. Um 0 UTC des 16. wurde Hoch Dirk über den Ostalpen und ein Hoch über Italien wetterwirksam. Doch um 12 UTC hatte sich die Strömung über der Region schon zyklonalisiert und um 0 UTC des 17. dehnte sich Tief Heike mit Kern nordwestlich von Schottland bis über Südwestdeutschland aus. Obwohl die Zyklonalisierung in der Bodenatmosphäre durch die warme Atmosphäre kräftig war, prägte sie sich im Verlauf des Luftdrucks weniger aus, da auf 500 hPa ein Hochdruckkeil über der Region befand. Der Premeteo-Index summierte über die 3-tägige Tiefdruckphase auf -31.

Hochdruckphase 3: Am 18. kam Südwestdeutschland auf 500 hPa in den Bereich eines Trogs, während sich am Boden aufgrund kalter Luftmassen ein Hochdruckgebiet mit Kern über den Pyrenäen ausbildete. Am 19. war es Hoch Ekart mit Kern über Irland, das die Strömung bestimmte. Sein Kern bewegte sich zum 20. nach Südwestengland. Auf 500 hPa lagerte ein kalter Trog über unserer Region mit einem Kältezentrum über Süddeutschland. Hoch Ekart bestimmte die Strömung schließlich bis zum 26., wobei sein Kern über den Balkan zu den Karpaten wanderte. Der Premeteo-Index summierte über die 9-tägige Hochdruckphase auf +79.

Tiefdruckphase 3: Um 0 UTC des 27. dehnte sich noch ein flacher Keil von der Iberischen Halbinsel nach Deutschland aus, doch um 12 UTC hatte sich die Strömung über unserer Region zyklonalisiert, und Tief Kim mit Kernen südlich von Island und über Großbritannien sowie Tief Lolita mit Kern über der Nordsee übernahmen am 28. mit stürmischem Wetter die Regie. Sie waren auch noch am 29. strömungsbestimmend. Der Premeteo-Index summierte über die 3-tägige Tiefdruckphase auf -11.

Hochdruckphase 4: Ein Hoch mit Kern über der Schweiz setzte sich am 30. flach durch, wobei ab Mittag der Luftdruck schon wieder abfiel, und um 0 UTC des 31. Tief Mareile mit einem Kern bei Dänemark über Deutschland reichte. Doch um 12 UTC war schon eine flache, antizyklonale Strömung vorhanden, die sich um 0 UTC am 1. Februar zu einem Hoch mit Kern über Westmarokko entwickelt hatte. Am 30. wurde um 13:48 UTC der starke Aspekt Vesta 45° Apogäum Hf* exakt und um 20:40 UTC Uranus 90° Varuna H?*. Der Premeteo-Index summierte über die 2-tägige, sehr flache Hochdruckphase auf +15.

SW-D befand sich an 23 Tagen im Einflussbereich antizyklonaler Strömung. Die Summe des prognostizierten Premeteo-Index für diese Tage ergab +302. Dies entsprach einer Indexzahl von +13,13 pro Tag.

An 8 Tagen befand sich SW-D im Einflussbereich zyklonaler Strömung. Die Summe des prognostizierten Premeteo-Index für diese Tage ergab -42. Dies entsprach einer Indexzahl von -5,25 pro Tag.

Die Prognose durch die Premeteo-Wettersymbole war an 7 Tagen falsch (am 3., 9., 12., 13., 14., 16., 31.), an 11 Tagen richtig und an 13 Tagen tendenziell richtig.

Zu den Tabellen



21.02.2020

Januar 2020



Prognose für SW-Deutschland

aktualisierter Index 3

01.01.2020

Am 1. beginnt die Konjunktion von Saturn mit Pluto, sie wird am 12. exakt und endet am 24. Januar. Durch sie wird der noch relativ unbekannte Aspekt Pluto 90° Eris A2*(4/5) aktiviert, der bezüglich der Strömungsform wahrscheinlich ein ambivalenter Aspekt ist. Am 3. und mit der noch bestehenden Konjunktion mit Merkur beginnt die Konjunktion Jupiters mit dem absteigenden Mondknoten, sie wird am 6. exakt u. endet am 9. Januar. Am 5. sind Varuna 150° Quaoar T1* am 10. Sedna 150° GSZ P* am 11. Pallas 0° Gaz H* (Auslösung unbekannter LL-Aspekte vom 9. bis 13.) und am 13. Ceres 0° Pluto H* exakt. Die Ceres-Pluto-Konjunktion vollzieht sich am 13. als Fünfer-Konjunktion noch mit Saturn, Sonne u. Merkur zusammen. Am 28. wird Pallas 0° Quaoar T1* exakt. Vom 26. bis 30. Auslösung unbekannter LL-Aspekte.
 Die rot markierten Aspekte im Index 3 sind Aspekte, bei denen der ursprüngliche Konjunktionsplanet den höheren Rang hat als der Partnerplanet. Das bedeutet, dass der Konjunktionsplanet bei diesen Konjunktionen immer als Planet 2 auftritt. Diese Aspekte werden ab Januar 2020 nicht mehr angezeigt.

Langsamläufer-Impulse	H*, 2H*				T*	H*				?
Schnellläufer-Impulse		T	2H, T	T		T	T	2H, 2T	H	T, 4H
Temperaturimpulse		W			W*, W	K?, W*, W	2W, W?	W		3W
Premeteo-Index -zyklonal, + antizyklonal (Index 1+2+3)	4	15	24	-2	4	10	0	5	15	9
Pre.IX (ALTERNATIV)										
Index 1 (12 - 12 UTC) exakte Aspekte des Tages	11	15	3	-2	-9	3	0	5	8	6
Index 1 (ALTERNATIV)										
Symmetrien (0 - 0 UTC)	Jup 4 Son Qua (05) A W H113(5,3) --- Mer 2 Jup Qua (09) T A -7 Auslösung Index 3! Son 8 Qua Cer (16) H A W ---	Ura 9 Ves Eri (10) A* H2*(4/1) ---	H* A+14 Son 120 Ves Orc (02) A H H* +7 Mer 4 Son Qua (03) H A --- Ves 120 Son Orc (04) A H* H (+14) Mer 14 Plu Pal (09) H* Son 9 Sat Qua (10) A K H --- Ven 44 Chi Qua (12) A W T H2*(5,5/2) --- Qua 9 Son Pal (14) H T* --- Var 166 Ven Cer (17) H --- Son 10 Plu Qua (20) H K H ---	Son 6 Jup Cer (06) A W A W --- Qua 6 Gaz Mer (07) ? A ---	Mer 3 Son Jup (03) H T ? Ausl. Index 3 GSZ 59 Mar Var (10) A ? H +7 Mer 8 Qua Cer (12) A H --- Qua 8 Pal Mer (17) T* A --- Orc 120 Ves Mer (18) H* A +7 Son 7 Jup Sat (18) A W A K --- Jun 75 Var Qua (21) Tat* --- Mer 120 Ves Orc (22) A A H* ---	Jup 4 Qua Mer (00) H*(13,5) T --- Ves 120 Orc Mer (02) H* A (+7) Son 7 Jup Plu (02) A W H K --- Mer 9 Sat Qua (05) A K? A --- Mer 10 Plu Qua (09) H A ---	Mer 119 Chi Var (03) A W H H1(60,5) --- Mer 6 Jup Cer (05) T H --- Eri Sop Jun Hau (17) A* ? --- Mer 7 Jup Sat (19) T A K? --- Mer 7 Jup Plu (22) T H ---	Sed 151 Pal Hau (04) H* ? H* +7 Ven 37 Chi Mer (17) H W --- Pal 22 Mar Mer (23) H ---	Ven 36 Son Chi (03) H --- Gaz 22 Mar Mer (08) H ---	
Index 2 (12 - 12 UTC)	-7	0	21	0	7	7	0	0	7	0
Index 2 ALTERNATIV										
ausgelöste Aspekte (= durch Konjunktionen aktivierte Aspekte)	Pal 30 Plu H5 Plu 90 Eri A2*(4/5) Auslösung Index 2: Qua 90° GSZ ?*	Pal 30 Plu H5 Plu 90 Eri A2*(4/5)	Plu 90 Eri A2*(4/5)	(Jup 180 Kri H6) Plu 90 Eri A2*(4/5)	(Jup 180 Kri H6) Plu 90 Eri A2*(4/5) Auslösung Index 2: Jup 180° Kri H* +6	(Jup 180 Kri H6) Plu 90 Eri A2*(4/5)	(Jup 180 Kri H6) Plu 90 Eri A2*(4/5)	Ven 45 Jup T-2 (Jup 180 Kri H6) Plu 90 Eri A2*(4/5)	Ven 45 Jup T-2 (Jup 180 Kri H6) Ves 135 Gaz H5 Plu 90 Eri A2*(4/5) Sed 150 Gaz ?* Var 144 Gaz A2*(2/1) Hau 60 Gaz ?*	Son 72 Chi H9 (Jup 180 Kri H6) Ves 135 Gaz H5 Plu 90 Eri A2*(4/5) Sed 150 Gaz ?* Hau 60 Gaz ?*
Index 3 (Summe)	0	0	0	0	6	0	0	0	0	3
Index 3 ALTERNATIV										
Symbol-Prognose	3	2	2	3	3	2	3	3	2	3
Symbol-Prognose altern.	3	2	2	3	3	2	3	3	2	3
Wochentag	Mi	Do	Fr	Sa	So	Mo	Di	Mi	Do	Fr
Datum	1	2	3	4	5	6	7	8	9	10
reale Wetterlage	H1: Hf*, 3H*, 2H - Tf*, 3T / +55						T1: T / 0	H2: 5H*, H2*, Hf, 11H - 4T* ? / +153		
Luftdruck (hpa) 06 UTC	1034,3	1032,2	1026,2	1031,9	1037,6	1032,2	1029,2	1030,8	1023,6	1019
mittl. Temp.(°C)	-2	-0,8	5,5	6,5	2,8	6,9	4,3	5,6	11,8	9,1
Sonnenscheindauer (h)	0	0	1	4,4	2,3	4,2	2,4	0	1,6	1,1
Niederschlag (Liter)	0	0	0	0,1 / 2	0 / 2	0	0 / 2	0	1,2	1,8 / 6
Bodenwetterlage 00 UTC (Kernlage des Druckgebiets, das SW-D beeinflusst)	H ü SO-D	H ü S-Balk	H mit Kernen ü S-, NO-Balk u Iber	T ü Skand, H ü O-Atl	H ü W-F	H ü O-Alpen	T ü Jan May, H ü NW Iber, H ü Balk	H m Kernen ü NW-Iber u S-D, T ü Jan May	H ü O-Alp, T bei Irl	T-Syst m Kernen ü N-F, Nsee, Däne
Bodenströmung 12 UTC (zyklonal (z), antizyklonal (a))	a	a	fl a	a	a	a	a-z	fl z	a-z	fl a
Strömung auf 500 hpa 00 UTC	NO fl a	N a-z	NW z	NW z	NNW a-z	N a	W a-z	NNO a	W a	SW a-z
zutreffende Wettersymbole	2-5 r	2-5 hr	5 f	3-5 hr	2-5 r	2-3 r	3-5 hr	5 hr	3-5 f	5 hr

Übertrag	02:04	06:07	00:17	04:07	05:49	02:37	02:02	05:59	05:04	03:32
Index 1: 0	02:04	06:07	00:17	04:07	05:49	02:37	02:02	05:59	05:04	03:32
Index 2: 0	02:04	06:07	00:17	04:07	05:49	02:37	02:02	05:59	05:04	03:32
Index 3: 0	02:04	06:07	00:17	04:07	05:49	02:37	02:02	05:59	05:04	03:32
Index 4: 0	02:04	06:07	00:17	04:07	05:49	02:37	02:02	05:59	05:04	03:32
Index 5: 0	02:04	06:07	00:17	04:07	05:49	02:37	02:02	05:59	05:04	03:32
Index 6: 0	02:04	06:07	00:17	04:07	05:49	02:37	02:02	05:59	05:04	03:32
Index 7: 0	02:04	06:07	00:17	04:07	05:49	02:37	02:02	05:59	05:04	03:32
Index 8: 0	02:04	06:07	00:17	04:07	05:49	02:37	02:02	05:59	05:04	03:32
Index 9: 0	02:04	06:07	00:17	04:07	05:49	02:37	02:02	05:59	05:04	03:32
Index 10: 0	02:04	06:07	00:17	04:07	05:49	02:37	02:02	05:59	05:04	03:32
Index 11: 0	02:04	06:07	00:17	04:07	05:49	02:37	02:02	05:59	05:04	03:32
Index 12: 0	02:04	06:07	00:17	04:07	05:49	02:37	02:02	05:59	05:04	03:32
Index 13: 0	02:04	06:07	00:17	04:07	05:49	02:37	02:02	05:59	05:04	03:32
Index 14: 0	02:04	06:07	00:17	04:07	05:49	02:37	02:02	05:59	05:04	03:32
Index 15: 0	02:04	06:07	00:17	04:07	05:49	02:37	02:02	05:59	05:04	03:32
Index 16: 0	02:04	06:07	00:17	04:07	05:49	02:37	02:02	05:59	05:04	03:32
Index 17: 0	02:04	06:07	00:17	04:07	05:49	02:37	02:02	05:59	05:04	03:32
Index 18: 0	02:04	06:07	00:17	04:07	05:49	02:37	02:02	05:59	05:04	03:32
Index 19: 0	02:04	06:07	00:17	04:07	05:49	02:37	02:02	05:59	05:04	03:32
Index 20: 0	02:04	06:07	00:17	04:07	05:49	02:37	02:02	05:59	05:04	03:32
Index 21: 0	02:04	06:07	00:17	04:07	05:49	02:37	02:02	05:59	05:04	03:32
Index 22: 0	02:04	06:07	00:17	04:07	05:49	02:37	02:02	05:59	05:04	03:32
Index 23: 0	02:04	06:07	00:17	04:07	05:49	02:37	02:02	05:59	05:04	03:32
Index 24: 0	02:04	06:07	00:17	04:07	05:49	02:37	02:02	05:59	05:04	03:32
Index 25: 0	02:04	06:07	00:17	04:07	05:49	02:37	02:02	05:59	05:04	03:32
Index 26: 0	02:04	06:07	00:17	04:07	05:49	02:37	02:02	05:59	05:04	03:32
Index 27: 0	02:04	06:07	00:17	04:07	05:49	02:37	02:02	05:59	05:04	03:32
Index 28: 0	02:04	06:07	00:17	04:07	05:49	02:37	02:02	05:59	05:04	03:32
Index 29: 0	02:04	06:07	00:17	04:07	05:49	02:37	02:02	05:59	05:04	03:32
Index 30: 0	02:04	06:07	00:17	04:07	05:49	02:37	02:02	05:59	05:04	03:32
Index 31: 0	02:04	06:07	00:17	04:07	05:49	02:37	02:02	05:59	05:04	03:32
Index 32: 0	02:04	06:07	00:17	04:07	05:49	02:37	02:02	05:59	05:04	03:32
Index 33: 0	02:04	06:07	00:17	04:07	05:49	02:37	02:02	05:59	05:04	03:32
Index 34: 0	02:04	06:07	00:17	04:07	05:49	02:37	02:02	05:59	05:04	03:32
Index 35: 0	02:04	06:07	00:17	04:07	05:49	02:37	02:02	05:59	05:04	03:32
Index 36: 0	02:04	06:07	00:17	04:07	05:49	02:37	02:02	05:59	05:04	03:32
Index 37: 0	02:04	06:07	00:17	04:07	05:49	02:37	02:02	05:59	05:04	03:32
Index 38: 0	02:04	06:07	00:17	04:07	05:49	02:37	02:02	05:59	05:04	03:32
Index 39: 0	02:04	06:07	00:17	04:07	05:49	02:37	02:02	05:59	05:04	03:32
Index 40: 0	02:04	06:07	00:17	04:07	05:49	02:37	02:02	05:59	05:04	03:32
Index 41: 0	02:04	06:07	00:17	04:07	05:49	02:37	02:02	05:59	05:04	03:32
Index 42: 0	02:04	06:07	00:17	04:07	05:49	02:37	02:02	05:59	05:04	03:32
Index 43: 0	02:04	06:07	00:17	04:07	05:49	02:37	02:02	05:59	05:04	03:32
Index 44: 0	02:04	06:07	00:17	04:07	05:49	02:37	02:02	05:59	05:04	03:32
Index 45: 0	02:04	06:07	00:17	04:07	05:49	02:37	02:02	05:59	05:04	03:32
Index 46: 0	02:04	06:07	00:17	04:07	05:49	02:37	02:02	05:59	05:04	03:32
Index 47: 0	02:04	06:07	00:17	04:07	05:49	02:37	02:02	05:59	05:04	03:32
Index 48: 0	02:04	06:07	00:17	04:07	05:49	02:37	02:02	05:59	05:04	03:32
Index 49: 0	02:04	06:07	00:17	04:07	05:49	02:37	02:02	05:59	05:04	03:32
Index 50: 0	02:04	06:07	00:17	04:07	05:49	02:37	02:02	05:59	05:04	03:32
Index 51: 0	02:04	06:07	00:17	04:07	05:49	02:37	02:02	05:59	05:04	03:32
Index 52: 0	02:04	06:07	00:17	04:07	05:49	02:37	02:02	05:59	05:04	03:32
Index 53: 0	02:04	06:07	00:17	04:07	05:49	02:37	02:02	05:59	05:04	03:32
Index 54: 0	02:04	06:07	00:17	04:07	05:49	02:37	02:02	05:59	05:04	03:32
Index 55: 0	02:04	06:07	00:17	04:07	05:49	02:37	02:02	05:59	05:04	03:32
Index 56: 0	02:04	06:07	00:17	04:07	05:49	02:37	02:02	05:59	05:04	03:32
Index 57: 0	02:04	06:07	00:17	04:07	05:49	02:37	02:02	05:59	05:04	03:32
Index 58: 0	02:04	06:07	00:17	04:07	05:49	02:37	02:02	05:59	05:04	03:32
Index 59: 0	02:04	06:07	00:17	04:07	05:49	02:37	02:02	05:59	05:04	03:32
Index 60: 0	02:04	06:07	00:17	04:07	05:49	02:37				

Januar 2020



Prognose für SW-Deutschland

aktualisierter Index 3

Am 1. beginnt die Konjunktion von Saturn mit Pluto, sie wird am 12. exakt und endet am 24. Januar. Durch sie wird der noch relativ unbekannte Aspekt Pluto 90° Eris A?(4/5) aktiviert, der bezüglich der Strömungsform wahrscheinlich ein ambivalenter Aspekt ist. Am 3. und mit der noch bestehenden Konjunktion mit Merkur beginnt die Konjunktion Jupiters mit dem absteigenden Mondknoten, sie wird am 6. exakt u. endet am 9. Januar. Am 5. sind Varuna 150° Quaoar TF, am 10. Sedna 150° GSZ T?, am 11. Pallas 0° Gaz H* (Auslösung unbekannter LL-Aspekte vom 9. bis 13.) und am 13. Ceres 0° Pluto H* exakt. Die Ceres-Pluto-Konjunktion vollzieht sich am 13. als Fünfer-Konjunktion noch mit Saturn, Sonne u. Merkur zusammen. Am 28. wird Pallas 0° Quaoar TF exakt. Vom 26. bis 30. Auslösung unbekannter LL-Aspekte.
 Die rot markierten Aspekte im Index 3 sind Aspekte, bei denen der ursprüngliche Konjunktionsplanet den höheren Rang hat als der Partnerplanet. Das bedeutet, dass der Konjunktionsplanet bei dieser Konjunktion immer als Planet 9 (bzw. als Planet 10) im Aspektplan zu sehen ist.

Langsamläufer-Impulse	2H*	H?*	3H*	H*							
Schnellläufer-Impulse	T, H	3H	Hf	2H	2T	2T, Tf	2H, 2T	2H, 2T	T	T, H	
Temperaturimpulse		K?, K	2K, W			K	W	K?	K?, 2W		
Premeteo-Index - zyklonal, + antizyklonal (Index 1+2+3)	22	30	48	24	-5	-33	7	0	-2	1	
Pre.IX (ALTERNATIV)			55								
Index 1 (12 - 12 UTC) exakte Aspekte des Tages	5	11	29	12	-3	-19	7	0	-2	1	
Index 1(ALTERNATIV)			36								
Symmetrien (0 - 0 UTC)	Mer 1 Son Cer (16) H H +14 Cer 0 Plu Mer (18) H* H +7 Cer 0 Sat Mer (20) H* H +7 Mer 1 Son Sat (22) H* A K? (+7) Mer 1 Son Plu (22) H H (+7)	Mer 0 Sat Cer (07) A K? H (+7) Mer 0 Plu Cer (08) H H (+7) Mer 0 Sat Plu (10) A K? H (+7) Cer 1 Son Mer (16) A W H (+7) Qua 6 Jup Pal (16) H*(13,5,5) T? * ... Sat 1 Son Mer (21) A K A K? 0	Son 0 Sat Plu (14) A H Hf K +14 Son 0 Plu Cer (15) Hf K A W (+14) Son 0 Sat Cer (16) A K A W 0 Sat 0 Plu Cer (22) H?*(4/2) H* +7	Cer 0 Son Sat (02) A W H (+7) Mak 144 Ven Ves (09) A A* H --- Cer 0 Son Plu (12) A W H (+7) Chi 31 Ven Ura (18) A H*(8/3) A ---	GSZ 150 Ven Ura (10) T A*(5/3) A-7 Var 150 Ven Qua (23) Tat T? A -14	Ven 150 Var GSZ (01) Tat T ?*(-14) Qua 7 Jup Gaz (09) H*(13,5,5) ? --- Ven 60 Ura Qua (09) A A H?*(6/2) ---	Ven 68 Ven Gaz (01) H* --- Ura 90 Var Mer (03) ? H T ? A A?(6,5/2) A 0	Son 6 Plu Mer (04) Hf K H +7 Pal 3 Qua Gaz (07) T? A* -7 Orc 5op Ven Nep (16) A ? * ---	Var 3op Son Mer (11) A T -7 Ven 45 Plu Eri (12) A H A?(4/5) +7 Qua 22 Mar Cer (16) H --- Ven 45 Sat Eri (19) A H A*(11/6) +7 Mar 44 Hau Cer (23) H H A* ---		
Index 2 (12 - 12 UTC)	14	14	14	7	-7	-14	0	0	0	0	
Index 2 ALTERNATIV											
ausgelöste Aspekte (= durch Konjunktionen aktivierte Aspekte)	Ven 60 Gaz T-2 Son 72 Chi H3 Ves 135 Gaz H5 Plu 90 Eri A?(4/5) Sed 150 Gaz T? Var 144 Gaz A?(2/1) Hau 60 Gaz T?	Ven 60 Gaz T-2 Cer 90 Eri H5 Ves 135 Gaz H5 Plu 90 Eri A?(4/5) Sed 150 Gaz T? Var 144 Gaz A?(2/1) Hau 60 Gaz T?	Cer 90 Eri H5 Ves 135 Gaz H5 Plu 90 Eri A?(4/5) Sed 150 Gaz T? Var 144 Gaz A?(2/1) Hau 60 Gaz T?	Mar 45 Sat T-4 Cer 90 Eri H5 Plu 90 Eri A?(4/5)	Mar 45 Sat T-4 Cer 90 Eri H5 Plu 90 Eri A?(4/5)	Mar 45 Sat T-4 Plu 90 Eri A?(4/5)	Plu 90 Eri A?(4/5)	Plu 90 Eri A?(4/5)	Plu 90 Eri A?(4/5)	Plu 90 Eri A?(4/5)	Plu 90 Eri A?(4/5)
Index 3 (Summe)	3	5	5	5	5	0	0	0	0	0	
Index 3 ALTERNATIV											
Symbol-Prognose	2	2	2	2	3	5	3	3	3	3	
Wochentag	Sa	So	Mo	Di	Mi	Do	Fr	Sa	So	Mo	
Datum	11	12	13	14	15	16	17	18	19	20	
reale Wetterlage					T2: Tf, 6T - 2H / -31			H3: 3H*, Hf, 9H - T*, 7T / +79			
Luftdruck (hpa) 06 UTC	1034,7	1030,1	1025,4	1016,3	1019,1	1028,3	1021,8	1028,3	1034,2	1045,2	
mittl. Temp.(°C)	4,9	2,4	5,5	9,7	10,9	9,7	5,4	4,9	2,2	2,4	
Sonnenscheindauer (h)	5,2	1,4	2,1	0,9	7,3	5,4	0,3	0,8	0,3	7,4	
Niederschlag (Liter)	0 / 1,5	0	0	0	0	0	2,6 / 2,5	0,4 / 2,5	0	0	
Bodenwetterlage 00 UTC (Kernlage des Druckgebiets, das SW-D beeinflusst)	H ü F	H ü lber, H ü O-Alpen	H ü Alpen u Balkan	H ü O-Balk, T zw Schottl u Island	T vor S-Norw, H ü Balk	H ü O-Alpen	T nw Schottl, H ü w-Karp	H ü Pyrenäen	H ü Irland	H ü SW-England	
Bodenströmung 12 UTC zyklonal (z), antizyklonal (a)	fl z	a	a-z	a-z	a-z	z	z	fl a	a	z	
Strömung auf 500 hpa 00 UTC	NO fl a	NO a	W a	W a-z	SW a	SW a-z	SW a	SW z	WNW z	SW z	
zutreffende Wettersymbole	2-5 hr	5 f	5 f	3-5 f	2 hr	2 f	2-5 r	5 hr	5 hr	2 hr	

PAL 150 SED SCH 27°00'31" STI 27°00'31" H* +5	01:17 04:36 01:11	MER 0 CER STE 22°22'45" STE 22°22'44" H +2	PAL 60 EL6 SCH 27°49'19" WAA 27°49'19" H* +10	05:30 05:30	CER 90 ERI STE 23°13'18" WID 23°13'18" H* +10	07:14 11:13	MAR 45 PLU SCH 07°51'15" STE 22°51'15" A	00:49 03:46	MER 60 APO STE 28°46'34" STE 28°46'33" T -1	01:02 05:23	MAR 45 CER SCH 09°27'39" STE 24°27'39" H +4	09:43 15:16	VEN 135 JUN FIS 05°14'36" WAA 20°14'37" A	02:32 03:48	VEN 150 FY9 FIS 06°48'54" WAA 06°48'54" T K?-2	09:45 12:48	MER 144 ORC WAS 05°55'28" JUN 11°55'28" T -1	06:28 10:00
PAL 0 GaZ SCH 27°00'50" SCH 27°00'50" A*	01:36 09:52	MER 0 SAT STE 22°44'26" STE 22°44'27" A K?	CER 0 PLU STE 22°47'37" STE 22°47'37" H* +10	05:30 11:13	VEN 144 FY9 FIS 00°50'12" WAA 06°50'11" A*	11:13 03:46	PAL 90 APO SCH 28°40'37" FIS 28°40'37" A*	05:23 05:23	MAR 144 URA SCH 08°39'38" STI 02°39'39" T -8	05:55 15:38	SON 135 ORC STE 26°57'34" JUN 11°57'34" T ---	15:16 03:48	MER 120 GSZ STE 26°57'34" WAA 02°20'15" H +1	02:32 03:48	MAR 30 JUP STE 10°54'19" STE 10°54'19" A	09:45 12:48	VEN 45 PLU FIS 08°02'05" STE 23°02'03" A	06:28 10:00
VEN 90 SED WAS 27°00'27" STI 27°00'25" A	07:34 10:15	MER 0 PLU STE 22°46'01" STE 22°45'60" H +2	CER 0 PLU STE 22°51'23" STE 22°51'23" H*(+10)	09:17 13:12	MAR 150 KNI SCH 07°31'35" KRE 07°31'35" A	11:13 08:53	VEN 30 CHI FIS 01°55'53" WID 01°55'55" A	05:55 15:38	MER 30 PAL STE 29°07'02" SCH 29°07'03" A	05:55 15:38	SON 120 SED STE 26°58'30" STI 26°58'29" H -3	15:38 03:48	MER 90 URA WAS 02°40'22" STI 02°40'20" H +2	02:32 03:48	VEN 120 KNI FIS 07°15'01" KRE 07°15'00" A W	09:45 12:48	VEN 45 ERI FIS 08°13'44" WID 23°13'44" H +2	06:28 10:00
VEN 60 GaZ WAS 27°00'51" SCH 27°00'50" T -2	07:42 10:47	VEN 30 APO WAS 28°22'28" FIS 28°22'27" HK +2	VES 144 FY9 STI 12°50'22" WAA 06°50'23" A*	12:05 13:26	VEN 72 VES FIS 00°56'56" STI 12°56'55" H +2	13:26 09:18	MAR 45 SAT SCH 08°05'37" STE 23°05'37" T -4	05:55 15:38	VEN 150 VAR FIS 03°06'34" STE 27°00'52" TK K -8	05:55 15:38	SON 30 GaZ STE 27°00'52" WAA 27°50'40" T K?	15:38 03:48	SON 90 EL6 STE 27°50'41" STE 29°11'54" A W	02:32 03:48	SON 60 APO FIS 29°11'54" STE 29°11'53" A	09:45 12:48	MER 120 FY9 WAA 06°48'28" WAA 06°48'27" A	06:28 10:00
VEN 60 PAL WAS 27°10'14" SCH 27°10'13" H ---	10:47 12:48	MER 90 ERI STE 23°13'18" WID 23°13'16" A	MAR 60 FY9 SCH 06°50'22" WAA 06°50'22" A*	12:51 13:22	JUP 72 EL6 STE 09°49'49" WAA 27°49'49" A*	13:22 13:52	MER 90 EL6 STE 27°50'01" WAA 27°50'00" A	11:31 11:35	SAT 90 ERI STE 23°13'24" WID 23°13'24" A*(11/6)	11:35 18:15	MER 45 NEP WAS 01°39'17" FIS 16°39'18" T ---	18:15 23:09	MER 180 VAR WAS 03°03'52" LÖW 03°03'52" T -3	02:32 03:48	MER 30 QUA WAS 03°40'11" STE 03°40'12" A	09:45 12:48	MER 120 FY9 WAA 06°48'28" WAA 06°48'27" A	06:28 10:00
PAL 144 VAR SCH 27°12'16" LÖW 03°12'16" H*(19/11) +5	12:48 16:59	SAT 0 PLU STE 22°46'34" STE 22°46'34" H?*(4/2) 0+7	SON 0 PLU STE 22°48'17" STE 22°48'16" HI K +9	13:22 15:17	MER 120 SED STE 26°59'14" STI 26°59'15" A	13:52 16:55	MAR 135 ERI SCH 08°13'21" WID 23°13'21" A	11:35 18:15	VEN 60 QUA FIS 03°36'57" WID 03°36'57" A	11:35 18:15	MER 60 CHI WAS 02°00'36" WID 02°00'38" A W	18:15 23:09	MER 30 QUA WAS 03°40'11" STE 03°40'12" A	02:32 03:48	MER 30 QUA WAS 03°40'11" STE 03°40'12" A	09:45 12:48	MER 120 FY9 WAA 06°48'28" WAA 06°48'27" A	06:28 10:00
VEN 120 EL6 WAS 27°48'59" WAA 27°48'58" A	23:32 23:05	PAL 135 VES SCH 27°47'11" STI 12°47'11" A*	SON 0 SAT STE 22°53'10" STE 22°53'10" A K	15:17 15:17	MER 135 ORC STE 26°59'35" JUN 11°59'34" A	16:55 23:26	VEN 150 GSZ FIS 02°20'14" WAA 02°20'14" T -2	11:35 18:15	MER 30 GaZ STE 27°00'50" SCH 27°00'51" H +1	11:35 18:15	VEN 60 URA FIS 02°39'34" STI 02°39'35" A	18:15 23:09	MER 30 QUA WAS 03°40'11" STE 03°40'12" A	02:32 03:48	MER 30 QUA WAS 03°40'11" STE 03°40'12" A	09:45 12:48	MER 120 FY9 WAA 06°48'28" WAA 06°48'27" A	06:28 10:00
SON 90 ERI STE 23°13'17" WID 23°13'17" A	23:32 23:05		SON 0 CER STE 23°00'05" STE 23°00'06" A W	15:17 23:26														

Januar 2020  **Prognose für SW-Deutschland**
 aktualisierter Index 3

Am 1. beginnt die Konjunktion von Saturn mit Pluto, sie wird am 12. exakt und endet am 24. Januar. Durch sie wird der noch relativ unbekanntere Aspekt Pluto 90° Eris A7*(4,5) aktiviert, der bezüglich der Störungsform wahrscheinlich ein ambivalenter Aspekt ist. Am 3. und mit der noch bestehenden Konjunktion mit Merkur beginnt die Konjunktion Jupiters mit dem absteigenden Mondknoten, sie wird am 6. exakt u. endet am 9. Januar. Am 5. sind **Varuna 150° Quasar T1**, am 10. **Sedna 150° GSZ** *, am 11. **Pallas 0° Gaz H'** (Auslösung unbekannter LL-Aspekte vom 9. bis 13.) und am 13. **Ceres 0° Pluto H'** exakt. Die **Ceres-Pluto-Konjunktion** vollzieht sich am 13. als **Fünfter-Konjunktion** noch mit Saturn, Sonne u. Merkur zusammen. Am 28. wird **Pallas 0° Quasar T1** exakt. Vom 28. bis 30. Auslösung unbekannter LL-Aspekte.
 Die rot markierten Aspekte im Index 3 sind Aspekte, bei denen der ursprüngliche Konjunktionsplanet den höheren Rang hat als der Partnerplanet. Das bedeutet, dass der Konjunktionsplanet bei dieser Konjunktion immer als **Planet 2** auftritt. Diese Aspekte werden ab 1. Februar 2020 nicht mehr ausgewertet.

Langsamläufer-Impulse			H*		T*, H'	H*	T*	T1*	H1*, H2*		
Schnellläufer-Impulse	2H	4H	T	T		H1, T	2H	T1, 2H, T	H, T	H, T	
Temperaturimpulse			W	K, W	H	W?, K	2K, W	K?			
Premeteo-Index - zyklonal, + antizyklonal (Index 1+2+3)	20	7	-4	10	1	46	1	-10	-2	-7	22
Pre-IX (ALTERNATIV)			10			57	12	1	9	4	31
Index 1 (12 - 12 UTC) exakte Aspekte des Tages	6	7	10	10	1	18	-9	-20	-2	0	15
Index 1 (ALTERNATIV)											24
Symmetrien (0 - 0 UTC)	Var 144 Ven GaZ (05) H A7*(2) A +7 Nep 46 Son Ura (10) A H7*(4) A +7 Son 7 Sat Mer (19) A K H ---	Mer 36 Nep Qua (19) T* (03) -140	Ura 90 Son Var (01) A H7*(4,5) A +7 Ven 75 Sed GaZ (17) T* --- Mer 30 Ven Jup (19) T K A A W (7) wegen Index 1! Hau 46 Mar Orc (20) H T H ?	Pal 90 Chi GSZ (04) H' A' T7*(1,5) --- Var 10op Plu Mer (06) T T ---	Sed 144 Pal Jun (15) H' A' H' +7	Ven 72 Pal Sed (05) Hst W? A H' +14 Pal 72 Ven Jun (09) Hst W? H' A +7 Ven 72 Qua Sed (13) A A H7*(6,52) ---	Mer 44 Chi Pal (06) T H H ? --- Mer 44 Chi Qua (08) T H H7*(5,52) ---	Pal 73 Nep Jun (21) A' H' H' +7	Var 134 Ven Mar (00) T A A K +7 Mar 135 Ura Var (17) T A H7*(4,5) -7	Var 136 Mar Nep (20) A H*(11,5) T T --- Son 37 Nep Qua (23) T7*(0) ---	Var 8op Son Sat (03) A H7*(7) --- Nep 38 Son Eri (07) T --- Jup 10 Plu Qua (23) H' H' 13(5,5) --- Pal 8 Jup GaZ (23) T' A' ---
Index 2 (12 - 12 UTC)	14	0	-14	0	0	28	0	0	0	-7	7
Index 2 ALTERNATIV			0								
ausgelöste Aspekte (= durch Konjunktionen aktivierte Aspekte)	Plu 90 Eri A7*(4/5)	Plu 90 Eri A7*(4/5)	Plu 90 Eri A7*(4/5)	Plu 90 Eri A7*(4/5)		Var 150 Qua T-11 Qua 144 Sed H7*(6,52) 0+11	Mar 90 Nep T-4 Var 150 Qua T-11 Ura 45 Nep H7*(4/0) K7 +9 0 Nep 135 Var H*(11,5) +10 Qua 144 Sed H7*(6,52) 0+11	Mer 45 Qua H1 Mer 90 Nep T-4 Ura 45 Nep H7*(4/0) K7 +9 0 Nep 135 Var H*(11,5) +10 Qua 144 Sed H7*(6,52) 0+11	Qua 144 Sed H7*(6,52) 0+11	Qua 144 Sed H7*(6,52) 0+11	
Index 3 (Summe)	0	0	0	0	0	0	0	0	0	0	0
Index 3 ALTERNATIV											
Symbol-Prognose	2	3	3	2	3	2	3	3	3	3	2
Wochentag	Di	Mi	Do	Fr	Sa	So	Mo	Di	Mi	Do	Fr
Datum	21	22	23	24	25	26	27	28	29	30	31
reale Wetterlage							T3: T2*, T1*, T1, 2T - 5 H - 11			H4: H1*, H2*, H - T / +15	
Luftdruck (hpa) 06 UTC	1042,8	1036,7	1033,6	1026,9	1023,7	1021	1017,2	1008,8	1011,7	1018,1	1013,9
mittl. Temp. (°C)	-1	-2	-3,5	0,1	1,9	1,1	8,6	6,6	5,2	8,4	12,8
Sonnenscheindauer (h)	7,8	0	7,7	6,7	4,4	4	0,1	1,4	0,5	4,4	0
Niederschlag (Liter)	0	0	0	0	0	0,1	1,4 / 2	4,6 / 4	3 / 6,5	0,5	0 / 3
Bodenwetterlage 00 UTC (Kernlage des Druckgebiets, das SW-D beeinflusst)	H m Kernen ü O-Atl u O-Alp	H m Kernen ü O-Atl u Balk	H m Kernen ü H m Kernen ü Engl u D	H m Kernen ü GB u Balk	H ü O-Balkan	H ü Karp	H ü Iber	T m Kernen s Isl u ü Nsee	T ü Skagerrak	H ü CH	T ü Däne
Bodenströmung 12 UTC zyklonal (z), antizyklonal (a)	z	a	fl z	a-z	fl z	a-z	z	a-z	a-z	a-z	fl a
Strömung auf 500 hpa 00 UTC	NW z	SO fl z	SO fl z	S a-z	SO fl z	S fl z	W z	SW a-z	WNW z	NW a-z	NW a-z
zutreffende Wettersymbole	2 r	2-5 r	2-5 r	2 r	3 r	3 hr	5 hr	5 r	5 hr	3-5 r	5 f

00:10	00:46	06:55	01:08	05:09	03:52	01:38	06:30	05:26	08:53	00:42
MER 150 KN1	SON 30 PAL	SON 90 URA	MER 30 VEN	MER 90 VES	VEN 72 SED	VEN 90 MAR	PAL 0 QUA	MER 120 JUN	MER 60 ERI	MAR 72 FY9
WAS 07*1103*	WAS 01*2607*	WAS 02*4251*	WAS 12*2423*	WAS 14*2508*	FIS 14*5637*	FIS 16*0149*	STE 03*5333*	WAS 21*1848*	WAS 23*1516*	SCH 18*4352*
KRE 07*1104*	STE 01*2608*	STI 02*4251*	FIS 12*2423*	STI 14*2508*	STI 26*5636*	SCH 16*0149*	STE 03*5333*	WAA 21*1846*	WID 23*1516*	WAA 06*4351*
A	H+3	A	T K-1	H+1	A	A K	T1-11	A	H+4	H+4
00:26	09:00	08:48	04:35	07:45	05:30	06:26	10:36	06:35	10:27	06:29
VEN 45 SAT	SON 45 NEP	MER 72 ERI	JUP 135 SED	URA 120 PAL	JUN 72 PAL	SON 120 FY9	MAR 90 NEP	FY9 90 KN1	MER 30 PLU	NEP 72 PAL
FIS 08*4536*	WAS 01*4705*	WAS 11*1403*	STI 11*5658*	STI 02*4415*	WAA 21*0537*	WAS 06*4548*	SCH 16*5759*	WAA 06*4448*	WAS 23*2153*	NEP 72 PAL
STE 23*4535*	FIS 16*4704*	WID 23*1404*	STI 26*5658*	STE 02*4415*	STE 03*0537*	WAA 06*4548*	FIS 16*5759*	KRE 06*4448*	STE 23*2153*	FIS 05*0321*
A	A	A	A	A	H+5	A	T1-10	A	A	A
00:27	09:37	11:18	07:28	10:47	06:58	08:26	12:46	08:06	13:48	09:27
MAR 90 ORC	MAR 45 HAU	CER 135 ORC	PAL 90 GSZ	MER 45 APO	VEN 144 JUN	SON 150 KN1	VEN 45 URA	VEN 72 KN2	VES 45 APO	MER 30 SAT
SCH 11*5451*	SCH 12*5113*	STE 26*5246*	STE 02*2019*	WAS 14*4925*	FIS 15*0554*	WAS 06*5053*	FIS 17*4653*	FIS 18*4437*	STI 15*2341*	WAS 24*5826*
JUN 11*5450*	WAA 27*5113*	JUN 11*5245*	WAA 02*2018*	FIS 29*4925*	WAA 21*0555*	KRE 06*5055*	STI 02*4654*	STE 06*4436*	WID 00*2341*	STE 24*5825*
H+4	H+4	A	A	A	A	A K	H K ?	A	H+11	A
01:31	18:04	12:50	08:33	13:11	07:32	09:14	14:24	11:23	19:40	14:35
VAR 144 GaZ	SON 60 CHI	SON 180 VAR	SON 30 QUA	MER 60 MAR	VEN 72 PAL	CHI 180 GSZ	VEN 135 VAR	MER 135 KN1	URA 90 VAR	VEN 150 JUN
LÖW 03*0053*	WAS 02*1009*	WAS 02*5754*	WAS 03*4804*	WAS 14*5946*	FIS 15*0736*	WID 02*2020*	FIS 17*5146*	FIS 18*4437*	STI 02*4906*	FIS 12*2657*
SCH 27*0053*	WID 02*1009*	LÖW 02*5754*	STE 03*4804*	SCH 14*5946*	STE 03*0737*	WAA 02*2020*	LÖW 02*5147*	KRE 06*4410*	LÖW 02*4906*	WAA 21*2657*
A7*(2)1	H+6	A	A	A	H W? +8	T?(1)5-8	T-2	A	H7*(4,5)1/0+9	A
05:26	22:03	13:09	09:28	18:52	08:33	16:15	22:02	11:31	16:37	
VEN 144 VAR	SON 120 GSZ	VEN 60 JUP	MER 144 KN1	PAL 150 VAR	SON 144 ORC	MER 45 PAL	MER 72 URA	MER 135 FY9		SON 72 ERI
FIS 09*0040*	WAS 02*2017*	FIS 11*4622*	WAS 13*0017*	STE 02*5511*	WAS 06*5010*	WAS 18*3938*	WAS 20*4713*	WAS 21*4442*		WAS 11*1534*
LÖW 03*0041*	WAA 02*2018*	STE 11*4622*	KRE 07*0018*	LÖW 02*5511*	JUN 11*5011*	STE 03*3938*	STI 02*4715*	WAA 06*4441*		WID 23*1533*
H+2	H+6	A W	A	T' ---	A	H-1	H+1	H-1		T-3
05:30	14:34	10:07	19:23	15:51	19:20	15:55	17:22	15:55	22:41	
VEN 72 GaZ		VEN 180 ORC	VEN 135 EL6	VEN 60 VES	MER 30 NEP	MER 45 QUA		MAR 135 URA		VEN 144 EL6
FIS 09*0052*		FIS 11*5238*	FIS 12*5122*	FIS 14*3111*	WAS 16*5441*	WAS 18*5253*		SCH 17*4758*		FIS 21*5102*
SCH 27*0053*		JUN 11*5238*	WAA 27*5122*	STI 14*3110*	FIS 16*5442*	STE 03*5254*		STI 02*4758*		WAA 27*5103*
A		A	A W	A	A	H+2		T-4		A
		15:38	12:52	20:22	16:53	20:02		17:22		
		CER 120 SED	MAR 150 VES	PAL 144 SED	PLU 90 ERI	VEN 0 NEP		MAR 135 VAR		
		STE 26*5704*	SCH 14*1822*	STE 02*5639*	STE 23*1435*	FIS 16*5652*		SCH 17*5026*		
		STI 26*5704*	STI 14*1822*	STI 26*5640*	WID 23*1435*	FIS 16*5652*		LÖW 02*5025*		
		A*	A	H' +5	A?	A W		A		
		VEN 45 CER	JUN 144 SED	CER 90 EL6	MER 45 CHI					
		FIS 11*5741*	WAA 20*5654*	STE 27*5125*	WAS 17*1913*					
		STE 26*5741*	STI 26*5654*	WAA 27*5125*	WID 02*1913*					
		T-2	A*	A*	T-1					
		17:19	14:00		21:48					
		MER 30 JUP	MAR 72 GSZ		MER 135 GSZ					
		WAS 11*5043*	SCH 14*2018*		WAS 17*2018*					
		STE 11*5041*	WAA 02*2019*		WAA 02*2020*					
		A	A		A					
		17:44			22:15					
		MER 150 ORC			VEN 72 QUA					
		WAS 11*5230*			FIS 12*5141*					
		JUN 11*5231*			STE 03*5141*					
		A			A					
		19:29								
		CER 30 GaZ								
		STE 27*0054*								
		SCH 27*0054*								
		A*								
		19:41								
		MER 45 GaZ								
		WAS 12*0054*								
		SCH 27*0054*								
		A								
		20:26								
		JUP 120 ORC								
		STE 11*5225*								
		JUN 11*5225*								
		H' +6								
		23:51								
		Pal 90 Chi								
		STE 02*1247*								
		WID 02*1248*								
		H' +5								

Januar 2020: Fehlprognosen

Datum	Vorzeichen Symbol	Analyse
4.	-2 3-5 hr	Tief Fabio I und II mit Kernen über Skandinavien und Barentsee. Um 12 UTC hat sich bereits Hoch Almar vom Ostatlantik durchgesetzt. Auf 500 hPa zyklonal, flacher Index.
17.	+7 2-5 r	Tief Heike mit Kern nordwestlich von Schottland. Flacher Index.
19.	-2 5 hr	Hoch Ekart über Irland. Auf 500 hPa zyklonal, flacher Index.
23.	-4 2-5 r	Hoch Ekart I und II mit Kernen über England und Deutschland. Auf 500 hPa flach zyklonal, flacher Index und einzelner, negativer Tag.
27.	+1 5 hr	Hoch über Iberischer Halbinsel. Bis 12 UTC Umstellung auf zyklonale Strömung. Flacher Index.
30.	-7 3-5 r	Hoch über Schweiz. Flacher Index. Um 13:48 UTC wurde der starke Aspekt Vesta 45° Apogäum H* exakt und um 20:40 UTC Uranus 90° Varuna H?*

Monatsauswertung (Lahr)

Jan 20

H-Wetterlagen

	Anzahl der Wetterlagen	Anzahl der Tage	Niederschlag in Liter	H*	Hf	H	T*	Tf	T	L
normal	4	23	4,1 / 17	13	2	23	2	0	15	3
anormal	0	0	0	0	0	0	0	0	0	0
gesamt	4	23	4,1 / 17	13	2	23	2	0	15	3

Verhältnis H/Tage = $38/23 = 1,65$
Verhältnis T/Tage = $17/23 = 0,74$

T-Wetterlagen

	Anzahl der Wetterlagen	Anzahl der Tage	Niederschlag in Liter	H*	Hf	H	T*	Tf	T	L
normal	3	8	11,6 / 17,0	0	0	7	2	2	9	0
anormal	0	0	0	0	0	0	0	0	0	0
gesamt	3	8	11,6 / 17,0	0	0	7	2	2	9	0

Verhältnis H/Tage = $7/8 = 0,88$
Verhältnis T/Tage = $13/8 = 1,63$

ganzer Monat	Anzahl der Wetterlagen	Anzahl der Tage	Niederschlag in Liter	H*	Hf	H	T*	Tf	T	L
	7	31	15,7 / 34,0	13	2	30	4	2	24	3

Gesamtzahl H-Aspekte: 45
Gesamtzahl T-Aspekte: 30
Zahl aller Aspekte: 198
Quotient H/T = 1,5
Gesamtzahl L-Aspekte: 3

Niederschlag Durbach: s.o. hinter Schrägstrich

r = richtig hr = halbrichtig f = falsch

Symbolprognose in Tagen	11 r 13 hr 7 f
-------------------------	----------------

Premeteo-Index pro Tag	HWL +302/23 = TWL -42/8 = +13,13 -5,25
------------------------	--

bezüglich des Vorzeichens richtige Tage	25	bezüglich des Vorzeichens falsche Tage	6
---	----	--	---

Bei der Auswertung des Januar 2017 wurde entdeckt, dass im Index 3 möglicherweise nur dann Auslösungsaspekte aktiviert werden, wenn der Konjunktionsplanet einen Aspekt mit einem Planeten bildet, der einen höheren Rang hat als der betroffene Konjunktionsplanet selbst. Dies bestätigte sich im Laufe des ganzen Jahres 2017. Manchmal entstand der Eindruck, dass die im korrigierten Index 3 nicht mehr angerechneten Aspekte auf 500 hpa zum Teil doch anwesend waren. Ab Januar 2018 werden nur noch die im Index 3 korrigierten Prognosen ausgewertet.